

# 回転爐による海綿鐵の製造に就いて(第2報)

(日本鐵鋼協會第26回講演大會講演 昭16.10.東京)

錦織清治<sup>1)</sup>・淺野輝<sup>2)</sup>・徳山忠臣<sup>3)</sup>・本田義樹<sup>4)</sup>

## ON THE MANUFACTURE OF SPONGE IRON BY THE USE OF ROTARY FURNACE (REPORT II)

*SYNOPSIS:*—The author commenced the experiment of manufacturing sponge iron by the use of rotary furnace in March 1938 (Showa-15), continued it to March 1939 (Showa-16) and began to manufacture industrially since May 1939. The following is the result of the experimental working informed as the second report.

The most difficult point in conducting various methods of manufacturing iron by the use of rotary furnace is the problem of refractory materials. Happily the manufacturing operation of the sponge iron is conducted at temperatures from 1000°C as maximum to 900~950°C, so that there is no fear of suspension of the operation by the limited life of the refractory bricks.

The rotary furnace used at present is of small size, so that the operation is easy and the product with the reduction grade of above 90% are continuously manufactured.

Improvements in operating the furnace since then were as follows:

A) 1. Equipping the measuring meters, and measurement of the temperature of the furnace walls and the furnace gases.

2. Measurement of the blast quantity.

3. Equipment of extracting the sample in the middle of the furnace.

4. Improvements in the method of extracting of the analysis sample of the furnace gases.

B) Justification of the passing time of the charge, increase of the production capacity and the stabilization of the manufacturing operation by modifying the inner form of the furnace.

The effect of the reducing agents on the reduction rate of the product is important, and it needs the more fixed carbon and the proper grain size. Impurities in the products are eliminated by simple operation. 30~40% of MnO etc. have been excluded when examined from the result of the experiment.

Moreover, the author reported on the result of the melting test of sponge iron that had been conducted for a long time since the experiment of the first report.

## 目 次

- I. 緒 言
- II. 海綿鐵製造工程
- III. 原 料
  - 1. 鐵石 2. 還元炭 3. 鐵石及び還元炭の粒度
- IV. 操 業
  - 1. 還元炭の調合割合 2. 回転爐内の溫度分布
  - 3. 爐内ガス 4. 爐内に於ける還元状況 5. 作業成績
- V. 製 品
  - 1. 化學成分 2. 副成品
- VI. 總 括

## I. 緒 言

著者等は第1報に於て基礎的實驗並に回転爐に依る操業成績の一部を報告した。その後原料調整設備・輸送装置も整備し、爐内溫度測定装置・風量計等を設置して操業も逐次改良されたので、その結果を報告せんとするものである。

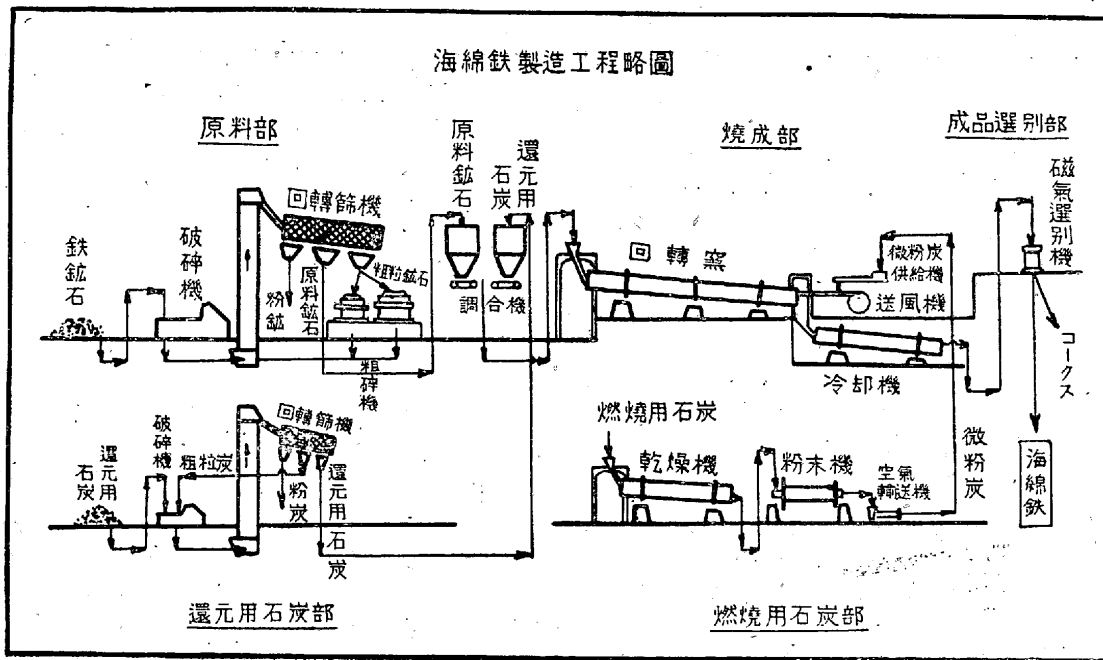
## II. 海綿鐵製造工程

5基運轉開始後の製造工程の大要を第1圖に示す。鐵石は噸鐵機により粗碎し、回転篩機に送り2.5mm以下の粉鐵を除去する。2.5~20mmのものは調合タンクに送る。20mm以上のものはコーン型碎鐵機で再粉碎し、密閉式により回転篩機にて篩分けする。コーン型碎鐵機を出たものの50%は20mm以下になつてゐる。還元炭は回転篩機にかけ、20mm以上のものはロール型碎鐵機にて粉碎し調合タンクに送る。

還元炭タンク及び鐵石タンクの下にポイドメーターを置いて調合し、ベルトコンベヤにて爐の裝入タンクに送る。

裝入タンクは排出口の開きを加減して裝入量を調節する。裝入原料は約45°傾斜せるシートにより爐内に入り、爐の回転につれて爐内を降下する。裝入口の反対側より微粉炭を燃焼して加熱する。爐内を降下せる鐵石は還元せられて海綿鐵となり、還元炭は灰とコークスとなり爐端よ

<sup>1), 2)</sup> 大同製鋼會社 <sup>3)</sup> 東北帝國大學 <sup>4)</sup> 淺野セメント會社



第1圖

り冷却機に入る。冷却機を出たものは $40\sim50^{\circ}\text{C}$ 位の温度で、之を磁選機に送つて海綿鐵とコークスに分離する。

爐の傾斜は2%で、回転時間は6mmから2mmを要する。

### III. 原 料

#### 1. 鑛 石

鑛石は脈石、磷、硫黄の少い良質の富鑛でなければならぬ。海綿鐵を特殊鋼原料として鹽基性爐に用ひる場合には $\text{SiO}_2$ の少い鑛石を、又酸性爐に用ひる場合には磷、硫黄の特に低い鑛石を選ばねばならぬ。

著者等は満洲東邊道の大栗子溝鑛石及び七道溝鑛石を使用したが、七道溝鑛石は含鐵品位の低いために現在は使用してゐない。大栗子溝鑛石にも脈石分から見て大體2種類(A及びB)ある。その分析例を第1表に示した。

第1表 大栗子溝鑛石分析例

成分	灼熱減量	$\text{SiO}_3$ %	$\text{Al}_2\text{O}_3$ %	$\text{CaO}$ %	$\text{MgO}$ %	$\text{MnO}$ %	$\text{Fe}_2\text{O}_3$ %	S%	P%
A	6.23%	4.84	5.26	3.36	1.58	0.10	78.30	0.05	0.02
B	4.74	7.30	1.91	1.85	0.94	1.90	81.82	0.137	0.05
C	1.47	0.72	0.48	0.56	0.48	0.20	96.10	0.020	0.08

鐵分は平均してB鑛石が高く60%以上ある。A鑛石は $\text{SiO}_2$ が低く $\text{Al}_2\text{O}_3$ ,  $\text{CaO}$ が高い。SはB鑛石の方が著しく高い。

C鑛石はA鑛石に含まれてゐる結晶状の鑛石で含鐵品位が著しく高い。

脈石の存在状態は餘り緻密でなく、層状をなして存在する場合が多い。

現在の作業にて粉碎し篩分けにより $2.5\sim20\text{ mm}$ の大きさの鑛石を使用して居るが、粉鑛と塊鑛の鐵分の差は第2表の如くである。即ち粉碎によつて使用鑛石の品位は向上する。

第2表 粉鑛と塊鑛の鐵分の差

鑛石の大きさ	1 $2.5\text{ mm}以下$ の粉鑛中の $\text{Fe}_2\text{O}_3\%$	2 $2.5\sim20\text{ mm}$ の塊鑛中の $\text{Fe}_2\text{O}_3\%$	3 $20\text{ mm}以上$ の塊鑛中の $\text{Fe}_2\text{O}_3\%$
	74.90(20%)	56.40(20%)	80.00(17%)
	80.60(80%)	69.30(80%)	85.00(83%)

( )内の数字は粉と塊の割合。

#### 2. 還元炭

還元炭としては筑豊有煙炭、朝鮮三陟無煙炭を使用してゐる。燐石を使用したこともあるが十分な試験を終つてゐない。石炭の分析例を第3表に示す。尙加熱炭は筑豊有煙炭の良質のものを用ひる。

還元炭の成分中重要なのは固定炭素である。硫黄分は少

第3表 石炭分析表

炭種名	揮發分	固定炭	灰	水分	硫	黃	發熱量
	%	%	%	%	%	%	kcal
大島	30.39	46.70	22.91	13.5	2.14	6122	
報國	"	29.10	43.22	27.68	9.0	0.17	5644
飯塚	"	34.10	49.68	16.16	10.5	0.25	6653
伊岐須	"	32.73	43.98	23.29	6.5	0.57	6016
松尾	"	31.66	37.78	30.56	6.5	1.83	5431
大ノ浦	"	36.96	47.77	15.27	6.5	0.22	6759
田川並	"	35.57	26.03	38.40	7.0	2.03	4727
岩鼻	15.49	50.70	33.81	7.0	0.12	5391	
三陟	6.20	64.18	14.36	5.26	0.38		
"	"	4.86	65.63	24.16	5.35	0.16	

第4表(1) 鎌石及び還元炭の粒度(自和昭16年5月)

試料の種類	篩の眼 mm	鎌石、還元炭篩通過量 %								細率	水分
		40	20	10	5	2.5	1.2	0.6	0.3		
還元炭(筑豊炭) 5月11日	—	93.13	65.90	42.98	32.48	19.75	10.98	—	—	3.35	
" " 5月14日	—	—	59.31	35.64	26.31	15.05	8.03	—	—	3.56	
" " 5月23日	—	—	60.40	36.70	27.45	16.25	9.98	—	—	3.49	
" (三陟炭) 6月3日	—	100.00	73.50	56.20	48.04	34.60	22.20	13.96	—	5.47	
" (筑豊炭) 8月平均	99.71	91.96	40.96	18.28	11.16	6.73	4.43	2.93	—	6.22	
粉碎鎌石(10mm眼篩の篩下5月11日)	—	—	92.42	48.50	32.90	18.04	1.08	0.72	—	5.05	
8月使用鎌石平均	100.00	98.31	44.69	13.96	4.71	2.61	2.18	—	—	6.30	
コーン型碎鎌機粉粹鎌石 8月20日	97.23	50.73	24.33	12.37	8.23	4.30	2.60	1.72	—	6.97	
エッヂランナー粉粹鎌石 7月15日	100.00	69.94	28.20	12.82	8.68	5.12	3.64	2.90	—	7.66	

くとも1%以下のものを用ひねばならぬ。固定炭素の點から見れば有煙炭より無煙炭がよい。有煙炭を多く用ひてゐるのは地理的に入手し易いためと、爐の短いために有煙炭の揮發分により爐の奥の温度をあげんとしたためである。

### 3. 鎌石及び還元炭の粒度

鎌石は2.5~20mmのものを使用して居るが、第4表に見る如く回転篩機による粉鎌の分離が不完全なために實際には相當細粉も爐内に入つて来る。16年3月まではエッヂランナーを使用し、粉粹せる鎌石は扁平よりも立方形に近いものであつたが、コーン型碎鎌機にて粉粹せるものは扁平で20mmの塊でも厚さは10mm前後であつて還元され易い。

石炭は細かければ反応性が良く還元作用にも都合が良いが、餘り細かくすると次の點で困る。

- a) 塵埃となつて逃げる量を増す。
- b) 鎌石の粒度に相應しないと爐内の類別がはげしい。
- c) 粉鎌に作用して焼結し易い。

同じ條件の下では反応性の悪い炭ほど細粒にして用ひる必要がある。

第4表(2) 回転爐による製鐵法の微粉炭燃焼量の比較

製鐵法	製品廻當り微粉炭 燃焼量 kg	作業最高溫度 °C
バッセー法	500~700	1,400~1,450
クルップ式レン法	200~300	1,250~1,350
海綿鐵製造法	100~200	950~1,000

## IV. 操業

### 1. 還元炭の調合割合

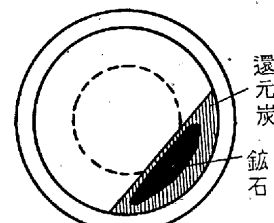
還元炭と鎌石との調合割合は1.5:1から0.6:1の間で作業した。爐内の酸化性ガスの影響を避けるために還元炭は還元に要するよりも著しく過剰に加へてゐる。還元炭の調合割合が多い時は裝入原料容積を増し、爐の生産能力を減

じ、爐内に於ては原料の温度上昇を妨げ且熱經濟上芳しくないから、過剰還元炭は出来るだけ減じる方針をとつてゐる。

還元炭の調合割合の最小限は次の如くである。

- a) 鐵鎌石の還元に必要な量。
- b) 爐の排出端側にて海綿鐵を包むに十分なる程度。

爐内に於ては鎌石(海綿鐵となつて居る場合も)と還元炭は第2圖の如く分れて居る。鎌石の上にある層は粗粒石炭でうすく、下層は細粒である。

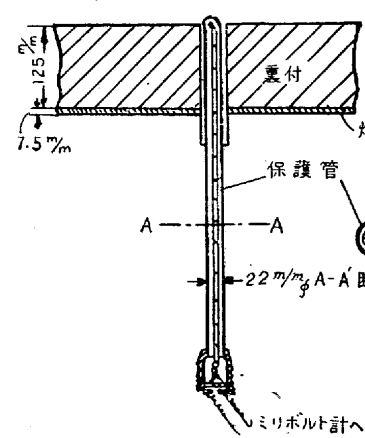


第2圖 裝入原料の偏析

即ち還元炭の粒度は還元反應に直接に影響するばかりでなく爐内の類別に關係する。尙實際作業では還元炭の割合を餘り減すると製品が粘結するのではないかと心配したが、粉鎌の分離に注意すれば粘結することは絶無といつてよい。

### 2. 回転爐内の溫度分布

回転爐に於ては微粉炭燃焼ガスの利用率は悪く熱效率が低い。光輝火焰の輻射する部分は著しく高温になり易いけれども、爐の奥に於ては原料の溫度上昇が緩慢であるから爐内の原料溫度は不均一になり易い。



缺點があり、爐内溫度分布を正確に保つことが作業の最大要件。

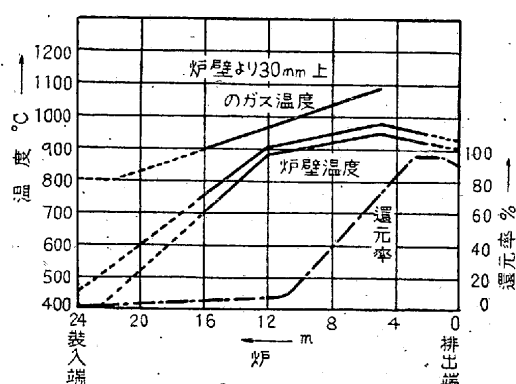
である。

爐内壁温度を測定するために第3圖の如くアルメル-クロメル線熱電対を耐熱鋼の保護管に入れて爐の排出端より2m, 5m, 8m, 12m, 16m の所に設備した。現在は16mの所でガス温度を測定してゐる。冷接點の温度は35~50°Cにして測定結果を補正した。

セメント焼成の場合には H. Gugi\*によると微粉炭火焰の熱は先づ爐壁に與へられる。ついで爐壁から原料に熱を與へる。然し製鐵を行ふ場合には原料中に燃料を含み、原料層中より發生する CO 火焰を酸化性爐内ガスにより燃焼して發熱するから原料を加熱する手段は原料それ自身と微粉炭火焰の二つである。レン法或は本製造法に於ては原料中に含まれる燃料に比して微粉炭使用量は少く、微粉炭火焰は爐の最高温度を決定し爐内温度分布を安定化するに役立ち、本質的には裝入原料中の燃料の燃焼により原料は加熱せられる。故に海綿鐵製造法では爐壁温度と原料温度は大差ないと考へられる。爐1回轉中の爐壁温度の差は15°C位と觀測せられたが、保護管の熱容量がかかる測定をするには少し大きいと考へられる。その他保護管の上に粘着物が附着する等の原因により測定誤差が入り易いから注意を要する。

爐壁温度の他に爐壁面より30mm 内面のガス温度を測定した。

第4圖に測定結果を圖示した。



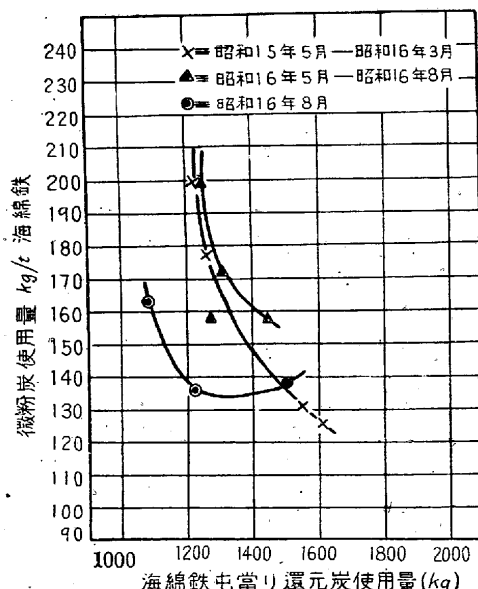
第4圖 爐内の温度分布及び還元状態

Williams によると海綿鐵製造に適當な還元溫度は875~1,025°Cである。著者等の作業の爐壁温度測定結果によると爐の半分は875°C以上になつてゐる。

爐壁温度を支配する因子は(a)微粉炭の燃焼熱、(b)裝入原料中より發生する CO ガスの燃焼熱、(c)裝入原料中

の吸熱反応であるが、(b)に對しては二次空氣の供給量が影響する。現在二次空氣は引込通風により爐のフード側より導入してゐる。共通煙道に於ける壓力は水柱2~8mmの負壓である。

海綿鐵製造の場合に於ける還元炭使用量と微粉炭使用量の關係を第5圖に示した。圖示した點は數回乃至數十回の平均であるが、還元炭、微粉炭とも未だ適當り最低値には達してゐない。



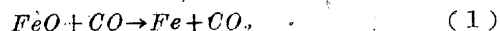
第5圖 微粉炭使用高と還元炭使用高との關係

二次空氣の供給方法については近く改善する筈である。引入通風を餘り強くすると、還元に好都合な粉還元炭を發散せしめて好ましくない。

### 3. 爐内ガス

爐内ガスを大別すると3層に分けられる。(1)微粉炭燃焼ガス及び二次空氣によつて作られる酸化性ガス圈、(2)裝入原料中に過剰に存在する炭素により裝入物中に於ける著しい還元性ガス圈、(3)前述兩者の中間ガス圈、即ち裝入物中より發生する CO ガスが酸化性ガスにより燃焼する層である。

裝入物中からの火炎の發生は20~24m, 3~6m の所にて最もはげしい。前者は還元炭中の揮發分の燃焼であり、後者は次式に於て



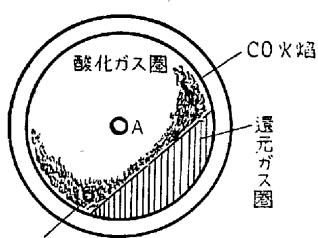
(3) 或は單に(2)式の反応によつて生ずる CO 火焰である。即ちこの部分にて還元反応も盛に進行してゐる。

\* Cement & Lime Manufacture, Nov. 1937, Dec. 1937, April 1938, July 1938, Feb. 1938, March 1938, June 1938.

爐の中央に於けるガス分析の結果を示すと第5表の如くである(第6圖参照)。

第5表 爐中央に於けるガス分析

	$CO_2$	$O_2$	$CO$
A	17.4	0.4	2.4
B	2.6	1.2	21.2



第6圖 爐内ガス

#### 4. 爐内に於ける還元状況

爐の8mの所から試料を取り、水中で急冷して分析した結果を第6表に示す。即ち爐を2/3経過して約40%還元されてゐる。この分析値を基として第4圖に爐内の還元状態を圖示した。

第6表 排出端より8mの所より採取せる海綿鐵の分析

	T.Fe	M.Fe	還元率
平均 試 料	76.00	31.50	41.45
10~20mm 試 料	74.20	23.00	30.10

回転爐の排出端より試料をとり空中に放冷せるものと、冷却機を通過せるものの比較を第7表にかけた。此の表より見て再酸化防止は今後に残されたる問題である。

第7表 冷却機の再酸化の防止

	T.Fe	M.Fe	還元率
爐の排出端より採集して空冷せる海綿鐵	82.80	69.80	84.30
冷却機を通過せる海綿鐵	80.89	80.25	92.50

#### 5. 作業成績

第8表及び第9表に昭和15年5月より昭和16年7月に至る月別の作業成績を示した。

昭和15年9月から12月までの製品の還元率の悪い原因是、品位の低い磁鐵鑛を用ひ且還元時間の不十分、温度の低かつたこと等によるものと思はれる。

昭和16年1月下旬に爐壁5箇所に温度計を設備し、良品位の赤鐵鑛を選び、還元用石炭も良質のものを使用し、爐回転を遅くして還元時間を長くした結果還元率は著しく向上した。

昭和16年5月爐の排出端近くにダムリングを設備し、装入物層を厚くすると共に還元帶の通過時間を長くした。その結果爐の作業は著しく安定するやうになつた。

昭和16年9月送風機に流量計を取付け窯尻に水冷式の

第8表 月別作業成績(其の1)

年・月→	15年5月	9月	10月	11月	12月	16年1月	2月	3月	4月	5月	6月	7月
運轉基數	1	1	1	1	1	1	1	1	—	2~3	2~5	3~4
窯回転 rev/mn	5'33"	3'20"	2'22"	3'40"	3'30"	3'40"	4'00"	4'00"	—	2'30" ~3'30"	2'42"	2'54"
運轉延時間 h	152	139	311	342	100	300	400	216	—	962	1876	1368
爐内溫度	2m 爐壁°C 5m 爐壁°C 8m 爐壁°C 12m 爐壁°C 16m 爐壁°C 窯尻ガス°C					894 920 819 878 736	911 891 798 749 613	820 — ガス温度 899	—			
通風水柱 mm				5	5	5	8	—	—	—	—	—
ガス窯分析	$CO_2\%$ $O_2\%$ $CO\%$	23.4 0.2 0.6	16.9 0.6 0.7	19.6 0.3 0.7	18.7 1.8 0.5	18.5 0.1 1.1	19.4 0.3 0.3	19.3 0.6 0.5	—	—	—	—
加熱炭分析	揮發分% 固定炭素% 灰分% 發熱量 kcal	41.33 47.57 11.10 7066	34.00 52.67 13.33 6906	37.46 48.32 14.22 6804	35.92 48.31 15.76 6797	35.74 47.82 15.53 6876	37.04 50.22 12.73 6931	36.39 47.30 16.22 6590	31.50 37.92 30.58 5358	— — — —	29.52 42.22 28.26 5530	30.25 42.88 26.87 5695
還元炭分析	揮發分% 固定炭素% 灰分% 硫黄% 水分%	6.10 60.35 33.55 41.24 5.7	22.00 36.71 41.24 5.4	33.67 35.19 31.63 6.6	27.18 40.62 33.19 5.5	35.99 39.89 24.10 5.8	31.29 45.91 22.80 6.8	28.24 44.85 26.91 7.7	30.05 38.84 31.11 5.6	— — — —	34.31 43.12 22.57 8.2	29.22 39.54 31.24 7.0

第8表 月別作業成績（其の2）

年・月→	15年5月	9月	10月	11月	12月	16年1月	2月	3月	4月	5月	6月	7月	
海綿鐵分析	T.Fe %	76.69	71.00	72.10	62.18	75.55	84.19	81.76	91.48	—	84.29	87.91	86.49
	M.Fe %	60.57	58.71	59.13	39.55	67.85	73.08	70.35	82.37	—	73.73	76.98	76.37
	還元率%	78.98	82.68	82.07	63.61	89.54	86.80	86.04	90.04	—	87.49	89.52	88.30
	C %	—	—	—	—	—	—	—	—	—	0.30	0.10	—
	SiO <sub>2</sub> %	10.45	7.49	9.32	12.55	9.06	6.30	6.54	3.34	—	5.39	3.68	4.09
	CaO %	0.95	3.43	3.84	6.43	4.50	1.93	1.93	0.87	—	3.35	1.97	2.20
	Al <sub>2</sub> O <sub>3</sub> %	3.62	10.50	8.54	10.16	4.14	2.06	3.50	0.64	—	1.85	1.37	2.55
	MgO %	1.25	0.93	1.18	1.03	0.29	0.35	1.14	0.56	—	0.73	0.59	0.73
	MnO %	0.27	2.72	0.29	0.17	3.06	0.96	—	—	—	0.83	0.22	0.43
	S %	0.10	0.07	0.08	0.03	0.26	0.18	0.03	0.11	—	0.25	0.30	0.29
	P %	0.12	0.40	0.08	0.17	0.24	0.09	0.04	0.04	—	0.04	0.09	0.07
鐵礦石分析	灼熱減量%	5.93	10.72	7.92	9.29	10.38	7.67	6.14	5.45	—	6.56	6.80	4.99
	SiO <sub>2</sub> %	10.84	16.63	7.90	5.90	8.34	7.34	5.06	3.84	—	4.00	4.54	4.18
	CaO %	0.46	8.65	4.69	7.66	9.31	5.08	4.67	2.45	—	4.80	5.91	2.17
	Al <sub>2</sub> O <sub>3</sub> %	3.22	5.42	2.08	3.66	6.46	4.52	2.16	1.04	—	2.54	4.82	1.08
	Fe <sub>2</sub> O <sub>3</sub> %	78.70	62.30	76.20	69.30	63.70	73.80	80.60	86.00	—	80.10	75.50	85.80
	MgO %	0.07	2.04	1.16	1.30	1.74	1.35	1.36	0.90	—	2.46	2.58	1.01
	S %	—	—	—	—	—	—	—	—	—	—	—	—
	P %	—	—	—	—	—	—	—	—	—	—	—	—

第9表 月別海綿鐵當り原料使用量

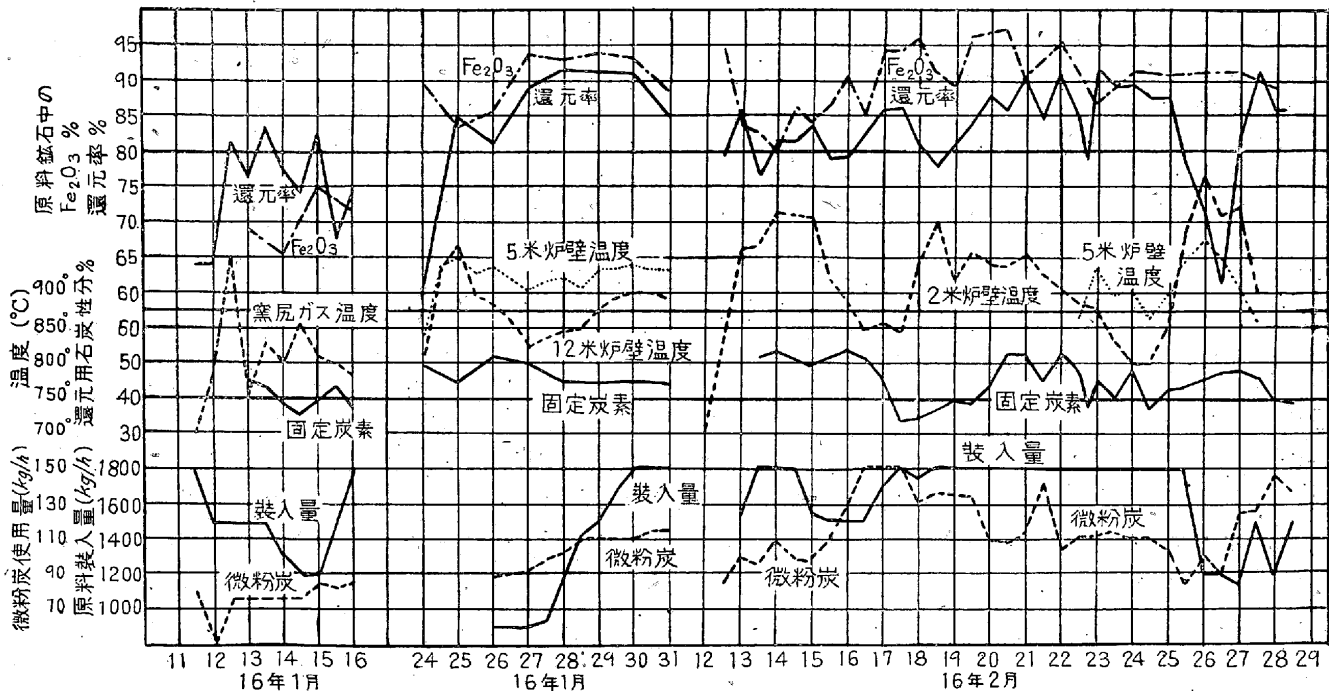
年月	加熱炭 kg	還元炭 kg	礦石 kg	還元炭 1h當り 海綿鐵製 造高 kg
昭和15年5月	193.7	1384.9	1565.0	0.885
	9月	230.0	1807.8	2102.3
	10月	131.0	1565.5	1752.3
	11月	125.6	1602.3	1761.3
	12月	203.3	2210.8	1537.9
昭和16年1月	250.5	1832.0	1548.7	1.183
	2月	258.6	1567.6	1898.4
	3月	199.5	1241.4	1464.1
	4月	—	—	—
	5月	221.1	1392.7	1640.5
	6月	173.3	1299.5	1497.6
	7月	172.4	1305.0	1582.0

ガス採取パイプを設備した。その結果は発表するに至つてゐない。

還元炭の調合割合は徐々に減じ、あつて8月後半は礦石に對して76%にした。その結果によると尙低下しても操業を困難にするとは考へられない。

第7圖に昭和16年1月及び2月の作業状況を圖示した。1月初旬の還元率の悪い原因は主として礦石の品位の悪いためであつて、且還元炭の調合割合が礦石に對して1.5倍になつて居り、温度の上昇が著しく困難であつた。

1月下旬は礦石、爐内温度、還元率とも良好である。2



第7圖 昭和16年1月、2月作業結果

月の成績は著しく變動してゐる。

この原因は主として石炭の側にある。還元炭の固定炭素の變動が激しく、加熱炭も表には表れてゐないが、15日から18日にかけて著しく不良で、その結果が爐壁溫度の低下となつて表れてゐる。26日の還元率の急低下は空氣の供給過剰の爲爐内で酸化性ガスが直接に影響した例で、爐壁溫度の上昇は鐵の酸化熱か、石炭の完全燃焼かによるのであるが、この場合は加熱炭の燃焼量を極度に減じてもその上昇を長くつけた所を見ると鐵の酸化熱によると考へられる。その後かゝる例を見ない。

第8圖は礦石の品位と還元率の關係、第9圖は還元炭中の固定炭素と還元率の關係を實際作業から記録をとつて圖示した。礦石に原因する還元率の不良理由としては

a) 磁鐵礦のため礦石自體が還元され難きこと、

b) 脂石分の多いため燒結し易く作業溫度の自然低下、  
c) 脂石の存在による還元反應の妨害

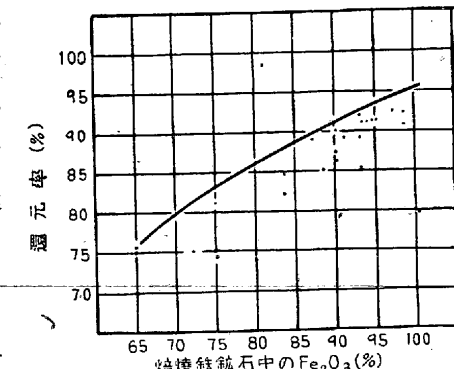
等がある。實際作業に當つては礦石、還元炭の良不良も大切であるが、一定の原料にて作業するといふ平凡な事項が最も大切なではないかと考へる。

原料に不同がある場合原料がよくとも還元作業は順調には進行しない。16年1月と2月を比較するとよくこの事情が表れてゐる。

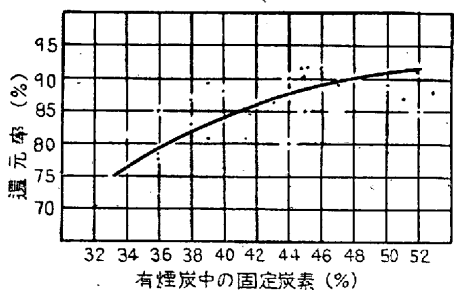
回轉爐による製鐵法ではよく耐火煉瓦の壽命が問題になるが、海綿鐵を製造する場合には溫度の低いためにシャモット煉瓦にて機械的にも化學的にも侵されることはない。又特別の場合を除いてはリングの附着することもない。

## V. 製 品

### 1. 化學成分



第8圖 級石の品位と還元率との關係  
(16年1~3月) 各點は6~12回分の平均



第9圖 級石中の $\text{Fe}_2\text{O}_3$  85% 前後以上の場合

海綿鐵の成分を第10表に示した。之を肉眼で觀察する

第10表 海綿鐵分析(%)

T.Fe	M.Fe	還元率	C	S	P	$\text{SiO}_2$
83.0~92.0	75~85	85~92	0.1~0.2	0.03~0.30	0.02~0.10	2.5~5.0

第11表 海綿鐵塊の内、外の比較

外殻	T.Fe	M.Fe	還元率	C	P	S
内核	95.00	83.00	87.35	0.06	0.02	0.21

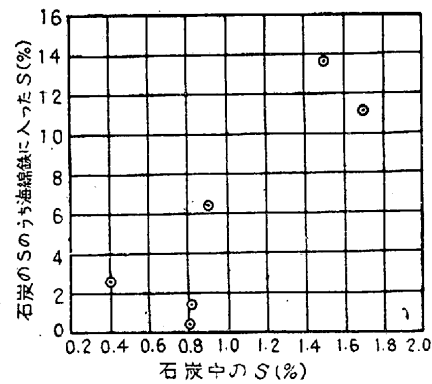
と外殻は多く黒色で、内核は酸化物を殘存して茶褐色を示すこともあるが、大抵は暗い金属光澤を示してゐる。外殻と内核の分析結果を示すと第11表の如くである。外殻は幾分再酸化してゐる模様が見られる。

海綿鐵中の炭素は0.1~0.2%の程度であつて、表面に附着せる微粒の炭素粒子を除くと炭素は0.1%以下になる。礦石中の硫黃は總べて海綿鐵に残るとして、石炭から海綿鐵に入る硫黃を計算すると第12表及び第10圖に示した

第12表 海綿鐵 1,000kg に對する硫黃の平衡表

海綿鐵中の S kg	礦石に伴はれる S kg	石炭中より海綿鐵に入つた S kg	石炭に伴はれる S kg	石炭の S のうち海綿鐵に入つた S kg
0.83	0.69	0.14	10.3	1.36%
0.35	0.21	0.14	4.9	2.85
3.39	0.81	2.58	19.0	13.60
4.05	1.64	2.41	21.7	11.14
0.11	0.07	0.04	9.6	0.42
3.65	2.94	0.70	11.1	6.37

如く石炭中の硫黃が1.7%の場合、その11%が海綿鐵中に入る。石炭中の硫黃が0.3~0.8%の場合には、その0.4~3%が



海綿鐵中に入る S に過ぎない。海綿鐵をポールミルにて軽く處理すると、硫黃の60~70%が除かれる。この點から石炭から入る硫黃は海綿鐵のごく表面に入つてゐるものと考へる。

礦石中の珪酸は粉碎過程中に僅かに除かれるのみである。

### 2. 副 成 品

副成品であるコークスは海綿鐵の40~50%出来る。コークス中には裝入還元炭中の固定炭素の15~20%が殘留する。礦石中の鐵分はコークス中に3~4%入る。之は主

として鑛石に伴はれる粉鑛である。コークスを3分目篩にて篩ひ、篩上は更に水洗した。その分析結果を第13表に示した。

第13表

	割合%	揮發分%	固定炭素%	灰分%	全鐵%	金屬鐵%	發熱量kcal
3分目の篩下	50	0.80	38.70	57.30	3.7	1.9	3361
3分目(水洗精)コークス	8	1.00	63.00	34.70	2.0	—	5148
篩上(水洗沈澱物)	42	1.00	13.80	70.00	14.8	10.1	1115

鑛石を粉碎する際に生ずる粉鑛は15~18%ある。之は低燐鑛石であるために電氣爐にて低燐鉄とする試験を行つてゐる。

爐から出る廢ガスは高溫であるからこれは餘熱汽罐に導き蒸氣タービンにて發電する。現在海綿鐵砕當り200~300

kWhを發電してゐる。

## VII. 總括

第1報に於ては短期間の試験作業を述べたが、本報告は大體現場の記録を基礎として操業の實状を示した。還元機構その他の理論的方面は殆ど述べてない。

製造法に就いては今後技術的に検討すべき點が多くある。第1報記載の粉鑛處理、磁選滓の利用、廢氣熱の活用は勿論なるも、製品中に含まる珪酸及び硫黃分の除去、再酸化防止等は急據解決せねばならぬ。目下後述の2設備計画は進行中で遠からず竣工するであらう。

# 特殊鋼の等温変態に就て(第2報)<sup>1)</sup>

(日本鐵鋼協會第24回講演大會講演 昭15.10.神戸)

河合正吉\*

## UEBER DEN ISOTHERMEN AUSTENITZERFALL DES SONDERSTAHLES (II)

Masayosi Kawai

ZUSAMMENFASSUNG:—Im ersten Bericht wurde die allgemeine Angabe über den isothermen Austenitzerfall geäussert. Der Verfasser hat diesmal die Ergebnisse von der Untersuchung über den isothermen Austenitzerfall einiger Stahlarten aufgestellt. Der S-Kurve des Ni-Cr-Stahles und die des Cr-Mo-Stahles werden zuerst gesucht und ihre Massenwirkungen werden damit abgeschätzt. Ferner erwähnt der Verfasser kurz des Ni-Cr-Mo-Stahles und des nickelarmen Mn-Cr-Mo-Stahles. Die Gefüge der bei verschiedenen Temperaturen isothermisch zerfallenden Proben werden der Reihe nach gezeichnet. Zum Schluss werden die mechanischen Eigenschaften des isothermisch zerfallenden Ni-Cr-Mo-Stahles geprüft und das sogenannte "Austemper-Verfahren" beim Sonderstahl wird beurteilt.

## I. 緒言

前報告に於て等温変態に関する一般論を述べたが、本報より各特殊鋼の各論に移る事とする。特殊鋼を論ずるに當つては先づ單一合金鋼より始める事が合理的と考へられるが、本實驗に於ては拙速的に先づNi-Cr鋼及びCr-Mo鋼を論じ、更にNi-Cr-Mo鋼及び其の代用鋼と考へられる低Ni-Mn-Cr-Mo鋼に言及せんとす。即ち上述の各鋼種に就てS曲線を求め、其の質量效果を見積り、等温変態に依つて得られる顯微鏡組織を觀察し、機械的性質に關し各組織の特性を論ずる事とする。

## II. S曲線

### 1. ニッケルクロム鋼及びクロムモリブデン鋼 試料

<sup>1)</sup> 第1報は鐵と鋼 27(昭16)663頁(9號)

\* 三菱重工業長崎製鋼所

### 第1表 成 分

成分	C	Si	Mn	Ni	Cr	Mo
Ni-Cr鋼	0.33	0.30	0.44	3.10	1.66	0.13 <sup>2)</sup>
Cr-Mo鋼	0.29	0.32	0.43	0.60 <sup>2)</sup>	1.84	0.25

の成分を第1表に示す。各試料より熱膨脹試験片を採取し、各溫度に於ける等温変態曲線を求め、之より變態開始時間、終了時間、50%變態時間、變態速度及び不完全變態量等を求め第1圖及び第2圖に示す。簡単の爲に高溫部及び低溫部のt<sub>k</sub>の極小點を夫々A<sub>rM'</sub>及びA<sub>rM''</sub>とする。偕て兩鋼種に就てS曲線の特徴を述べれば、Ni-Cr鋼に於てはA<sub>rM'</sub>、A<sub>rM''</sub>が何れも比較的低溫にある。t<sub>k</sub>の値は全體を通じてNi-Cr鋼に於て優り、Cr-Mo鋼の質量效果の大なる事が結論される。然しCr-Mo鋼に於てはA<sub>rM'</sub>が上方にある爲、鋼片の大きさが比較的小なる間は冷却速度は高溫

<sup>1), 2)</sup> 何れも屑鐵より混入せるもの。